光学活性 M(O-N)2 錯体 (M = Pt, Pd)の共晶体の作製と結晶構造

日大生産工(院) 〇李 鎬成 日大生産工 津野 孝 レーゲンスブルグ大 ヘンリ ブルナー

1. 緒言

Schiff塩基はアルデヒド誘導体と第一級アミ ンの脱水縮合反応によって生成される化合物 である。この化合物中の窒素の非共有電子対が 属イオンに配位することから配位子として用 いられ、近年このような配位子を使った錯体は 有機 EL ディスプレイ ¹⁾や蛍光センサー²⁾など の発光材料として研究されている。発光材料の 錯体の中心金属として Pt が用いられる。しか し Schiff 塩基を有する Pt 錯体は平面四配座型 構造を取る為,上下の配位平面が空いているこ とから自己集積型結晶を取り,金属間の分子間 エネルギーの移動によって発光の量子収率が 低下してしまう。Tsuno らは 2-ヒドロキシ-1-ナフトアルデヒドと(S)-1-フェニルエチルアミ ンからなる光学活性 Schiff 塩基配位子を用い た金属錯体である $M(O-N)_2$ (M = Pt, Pd)錯体の 立体化学を報告し、また Pt に関する発光挙動 についても報告した^{3,4)}。この二つの金属錯体 は同一空間群を持ち,格子定数がほとんど同じ である。異種金属による類似した構造の錯体か ら誘導される共晶体は,物理的性質や,化学的 特性の観点からとても興味深い。このような共 晶体に関する知見が数少ないため,本研究では 同じ(O-N)配位子を有する Pt, Pd 錯体の共晶体 の作製及び、それらの結晶構造について報告す る。

(S,S)- or (R,R)-2 (S,S)- or (R,R)-3

Scheme 1. $M(O-N)_2$ complexes

2. 実験方法

(S,S)- or (R,R)-Bis[1-[(1-phenylethyl)imino]-methyl-2-naphthalenolato-N,O]platinum(II)⁴⁾ の合成(2): 窒素雰囲気下シュレンク中に[PtCl₂(NCMe)₂] (0.29 mmol), (S) 又は(R)-1 ³⁾ (0.58 mmol), K_2 CO₃ (3.5 mmol)を加えた。DMSO/トルエン(5/20 mL)で80°Cで16時間加熱させた。水/酢酸エチルで有機層を抽出し真空濃縮をした。残留物をメタノールで洗浄しジクロロメタン/ヘキサンで再結晶することで赤橙色の単結晶を得た(38%)。

(S,S)- or (R,R)-Bis[1-[(1-phenylethyl)imino]-methyl-2-naphthalenolato-N,O]palladium(II)³⁾の合成(3):窒素雰囲気下シュレンク中に(S) 又

Preparation of Co-crystals of Optically Active $M(O-N)_2$ (M = Pt and Pd) Complexes and Their Structure Analysis

Kousei LEE, Takashi TSUNO, and Henri BRUNNER

は (R)-1 $^{3)}$ (1.01 mmol)と KO'Bu (1.10 mmol)を加えて室温で 1 時間撹拌した後, $PdCl_2$ (0.5 mmol)を加えてさらに 16 時間撹拌した。溶液をセライトろ過した後,残留分をジクロロメタンで溶かし濃縮した。ジクロロメタン/ヘキサンで再結晶することで橙色の結晶を得た (84%)。

3. 結果・考察

(S,S)-2 と(S,S)-3 の粉末を 1:1 のモル比率で混合させジクロロメタン/ヘキサンで再結晶し、析出した結晶を X 線構造解析した。この共晶体の晶系は orthorhombic であり、空間群は $P2_12_12$ であった(Fig. 1)。しかし分子の構造が 1分子で解析されていたため、Pt および Pd の混合比率が決定できなかった。しかしこの結晶の 1H -NMR は、積分値から 1:1 の(S,S)-2、(S,S)-3 を示した(Fig. 2)。 365 nm の紫外線光を 2 に照射すると橙色の発光を呈するが、作製した共晶体では発光が抑えられ、わずかな橙色の発光を呈した(Fig. 3)。 (R,R)-2/(R,R)-3 の共結晶の作製も成功し、解析から 1:1 の混合結晶であった。

続いて (S,S)-2, (R,R)-3 の共晶体を作製した。 X 線構造解析は,晶系が monoclinic であり,空間群は $P2_1$ で 1 H-NMR から 1:1 の混合結晶であった (**Fig. 4**)。 (R,R)-2/(S,S)-3 の共晶体も構造を解析し,1:1 の混合結晶であった。

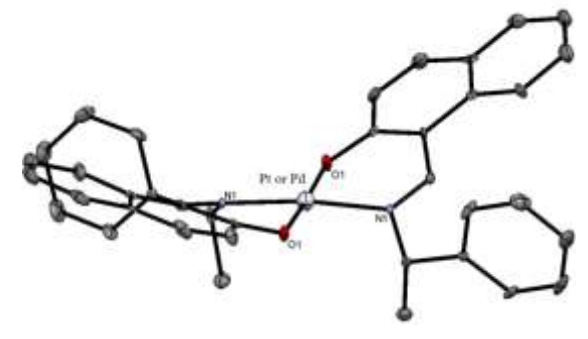


Fig. 1. Molecular structure of (S,S)-**2**/(S,S)-**3** in co-crystal. Space group $P2_12_12$. a = 14.586 Å b = 11.116 Å c = 10.085 Å.

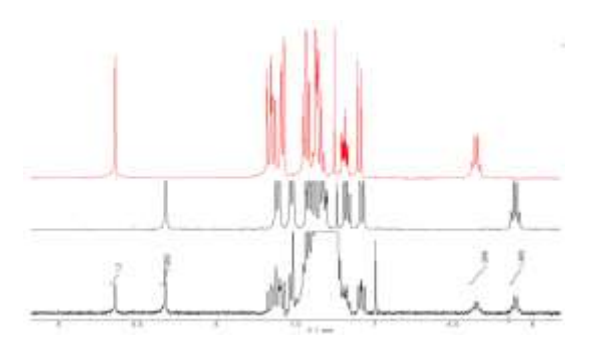


Fig. 2. ¹H-NMR Spectra of co-crystal of (S,S)-**2**/(S,S)-**3**. co-crystal (bottom), (S,S)-**2** (top), (S,S)-**3** (middle).



Fig. 3. Emission of complexes: 1: (S,S)-2, 2: co-crystal of (S,S)-2/(S,S)-3, 3: co-crystal of (S,S)-2/(R,R)-3, 4: co-crystal of (R,R)-2/(S,S)-3, 5: co-crystal of (R,R)-2/(R,R)-3.

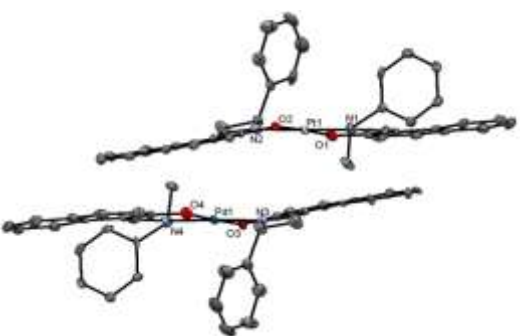


Fig. 4. Molecular structure of (S,S)-**2**/(R,R)-**3** in co-crystal. Space group $P2_1$. a = 9.487 Å b = 15.663 Å c = 20.627 Å. $\beta = 101.389^\circ$

4. 参考文献

1) Zhou, J.; Liu, Q.; Feng, W.; Sun, Y.; Li, F. *Chem. Rev.* **2015**, *115*, 395-465. 2) Wiznycia, A. V; Desper, J.; Levy, C. J. *Chem, Commun.* **2005**, *37*, 4693-4695. 3) Tsuno, T.; Iwabe, H.; Brunner, H. *Inorg. Chem. Acta* **2013**, *400*, 262-286. 4) 古川聖, 平成 27 年度日本大学生産工学研究科修士論文, **2016**.